



# 第4讲 电磁波与媒质和物体的作用

## 1. 电磁媒质与物质方程（本构关系）

Maxwell方程组本身不涉及媒质，所以它适合任何情况。如果要在媒质中求解该方程组，则需要添加描述媒质电磁属性的方程，称为“本构”关系。

**本构关系：**如果对媒质施加电场强度  $\mathbf{E}$  和磁感应强度  $\mathbf{B}$ ，那么产生的电位移矢量  $\mathbf{D}$  和磁场强度  $\mathbf{H}$  是什么？（ $\mathbf{E}$  是单位电荷受到的力， $\mathbf{B}$  是单位电流元受到的力，是基本力学量）。在弱场情况下，他们应该是线性关系：

$$\begin{cases} \mathbf{D} = \bar{\mathbf{a}} \cdot \mathbf{E} + \bar{\mathbf{b}} \cdot \mathbf{B} \\ \mathbf{H} = \bar{\mathbf{c}} \cdot \mathbf{E} + \bar{\mathbf{d}} \cdot \mathbf{B} \end{cases} \Rightarrow \begin{cases} \mathbf{D} = \bar{\boldsymbol{\varepsilon}} \cdot \mathbf{E} + \bar{\boldsymbol{\xi}} \cdot \mathbf{H} \\ \mathbf{B} = \bar{\boldsymbol{\zeta}} \cdot \mathbf{E} + \bar{\boldsymbol{\mu}} \cdot \mathbf{B} \end{cases}$$

可以根据本构参数的特点将媒质进行分类。



## 第4讲 电磁波与媒质和物体的作用

**各向同性与各向异性：**如果本构参数矩阵  $\{\bar{\epsilon}, \bar{\xi}, \bar{\zeta}, \bar{\mu}\}$  退化为单位阵形式，则称为各向同性，否则为各向异性，如若  $\bar{\epsilon} = \epsilon \mathbf{I}$ ，则为电各向同性。

**均匀与非均匀：**如果本构参数与空间位置无关，称为均匀，否则为非均匀。

**色散与非色散：**如果本构参数与频率有关（反映媒质分子的频响特性），称为色散，否则为非色散。事实上，所有媒质都是色散的，但是在某个较小的频率范围内可认为媒质电磁参数与频率无关。

- ◆ 本构参数反映物质分子结构对电磁波的响应；因此，如果知道分子/原子结构，则可以从理论推出本构参数。
- ◆ 根据物质分子的响应特性，可以将媒质进行各种分类：**无耗和有耗、互易与非互易、单轴与双轴各向异性、旋性媒质、手征媒质、超导媒质、左手媒质，……。**



## 第4讲 电磁波与媒质和物体的作用

**分子模型**：可以把电磁媒质归纳为各种“模型”。例如，水分子可以认为适合‘**德拜分子模型**’：

$$\mathbf{D} = \varepsilon \mathbf{E}, \quad \varepsilon = \varepsilon^\infty + \frac{\varepsilon^0 - \varepsilon^\infty}{1 + j\omega\tau} = \varepsilon' - j\varepsilon'', \quad \varepsilon' = \varepsilon^\infty + \frac{\varepsilon^0 - \varepsilon^\infty}{1 + (\omega\tau)^2}, \quad \varepsilon'' = \frac{\varepsilon^0 - \varepsilon^\infty}{1 + (\omega\tau)^2}(\omega\tau)$$

其中  $\varepsilon^0$  和  $\varepsilon^\infty$  分别是  $\omega=0$ （对频率变化无反应）和  $\omega=\infty$ （对频率具有无限的快速反应）时的介电常数值， $\tau$  称为‘弛豫’时间（反映物质分子对电磁波的响应速度）。

另一种常见分子模型：**洛伦兹媒质**

$$\varepsilon(\omega) = \varepsilon^\infty + \sum_{p=1}^P \frac{(\varepsilon_p^0 - \varepsilon^\infty)\omega_p^2}{\omega_p^2 + 2j\omega\delta_p - \omega^2}$$

$(\omega_p, \delta_p)$  分别反映物质分子的谐振特性和振动衰减特性。





# 第4讲 电磁波与媒质和物体的作用

## 2. 平面波在特定媒质中的传播

**平面波**：有限尺度的波源在非常远的地方产生球面波。如果被研究的区域尺寸与到波源的距离相比非常小，则可以认为是平面波。

平面波表达式：

$$\begin{aligned} \mathbf{E}(\mathbf{r}) &= \mathbf{E}_0 e^{-j\mathbf{k} \cdot \mathbf{r}} & \mathbf{D}(\mathbf{r}) &= \mathbf{D}_0 e^{-j\mathbf{k} \cdot \mathbf{r}} & \text{且 } \mathbf{k} \cdot \mathbf{D}_0 &= 0 & (\because \nabla \cdot \mathbf{D} = 0) \\ \mathbf{H}(\mathbf{r}) &= \mathbf{H}_0 e^{-j\mathbf{k} \cdot \mathbf{r}} & \mathbf{B}(\mathbf{r}) &= \mathbf{B}_0 e^{-j\mathbf{k} \cdot \mathbf{r}} & \text{且 } \mathbf{k} \cdot \mathbf{B}_0 &= 0 & (\because \nabla \cdot \mathbf{B} = 0) \end{aligned}$$

### ◆ 在各向同性均匀有耗媒质中传播

$$\begin{cases} \mathbf{D} = \varepsilon \mathbf{E} \\ \mathbf{B} = \mu_0 \mathbf{H} \end{cases} + \begin{cases} \nabla \times \mathbf{E} = -j\omega \mathbf{B} \\ \nabla \times \mathbf{H} = \sigma \mathbf{E} + j\omega \mathbf{D} \end{cases} \rightarrow \begin{cases} j\mathbf{k} \times \mathbf{E}_0 = -j\omega \mathbf{B}_0 = -j\omega \mu_0 \mathbf{H}_0 \\ j\mathbf{k} \times \mathbf{H}_0 = \sigma \mathbf{E}_0 + j\omega \mathbf{D}_0 = j\omega \varepsilon^* \mathbf{E}_0 \end{cases} \quad \varepsilon^* = \varepsilon - j \frac{\sigma}{\omega}$$

$$\rightarrow \mathbf{k} \times \mathbf{k} \times \mathbf{E}_0 + \omega^2 \mu_0 \varepsilon^* \mathbf{E}_0 = 0 \rightarrow \begin{cases} \mathbf{k} \cdot \mathbf{E}_0 = 0 & (\because \nabla \cdot \mathbf{D}_0 = 0) \\ k^2 \mathbf{E}_0 - \omega^2 \mu_0 \varepsilon^* \mathbf{E}_0 = 0 & (k = |\mathbf{k}|) \end{cases}$$

$$\rightarrow \begin{cases} \mathbf{E}_0 = E_v \hat{v} + E_h \hat{h} \\ k^2 = \omega^2 \mu_0 \varepsilon^* \end{cases}$$

其中  $\hat{v}$ ,  $\hat{h}$  是两个与传播方向  $\hat{k}$  垂直的电磁波极化方向矢量,  $E_v$ ,  $E_h$  是两个极化分量的波幅度。



# 第4讲 电磁波与媒质和物体的作用

设  $\hat{d}$  是一个“参考方向矢量”，定义两个与传播方向  $\hat{k}$  垂直的极化方向矢量：

$$\begin{cases} \hat{h} = \frac{\hat{k} \times \hat{d}}{|\hat{k} \times \hat{d}|} \\ \hat{v} = \hat{h} \times \hat{k} \end{cases}$$

因此，只要给定一个“参考方向  $\hat{d}$ ”，那么沿  $\hat{k}$  方向传播的平面波通式为：
$$\mathbf{E} = (E_v \hat{v} + E_h \hat{h}) e^{-jk\hat{k} \cdot \mathbf{r}}$$

例：若  $\hat{d} = \hat{x}$ ,  $\hat{k} = \hat{z}$ ，则  $\hat{h} = \hat{y}$ ,  $\hat{v} = \hat{x}$ ，
$$\mathbf{E} = (E_x \hat{x} + E_y \hat{y}) e^{-jkz}, \quad k = \omega \sqrt{\mu_0 \epsilon^*}$$

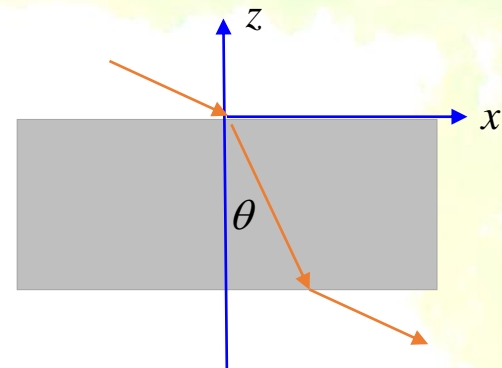
## ◆ 在各向异性单轴晶体媒质中的传播

$$\begin{cases} \mathbf{D} = \bar{\epsilon} \cdot \mathbf{E} \\ \mathbf{B} = \mu_0 \mathbf{H} \end{cases} + \begin{cases} \nabla \times \mathbf{E} = -j\omega \mathbf{B} \\ \nabla \times \mathbf{H} = j\omega \mathbf{D} \end{cases} \rightarrow \begin{cases} j\mathbf{k} \times \mathbf{E}_0 = -j\omega \mathbf{B}_0 = -j\omega \mu_0 \mathbf{H}_0 \\ j\mathbf{k} \times \mathbf{H}_0 = +j\omega \mathbf{D}_0 = j\omega \bar{\epsilon} \cdot \mathbf{E}_0 \end{cases}$$

$$\bar{\epsilon} = \begin{bmatrix} \epsilon_{\perp} & 0 & 0 \\ 0 & \epsilon_{\perp} & 0 \\ 0 & 0 & \epsilon_{\parallel} \end{bmatrix}$$

$$\rightarrow \mathbf{k} \times \mathbf{k} \times \mathbf{E}_0 + \omega^2 \mu_0 \bar{\epsilon} \cdot \mathbf{E}_0 = 0 \quad \text{假设 } \mathbf{k} = k(\hat{x} \sin \theta - \hat{z} \cos \theta)$$

$$\rightarrow \begin{bmatrix} \omega^2 \mu_0 \epsilon_{\perp} - k^2 \cos^2 \theta & 0 & -\frac{1}{2} k^2 \sin 2\theta \\ 0 & \omega^2 \mu_0 \epsilon_{\perp} - k^2 & 0 \\ -\frac{1}{2} k^2 \sin 2\theta & 0 & \omega^2 \mu_0 \epsilon_{\parallel} - k^2 \sin^2 \theta \end{bmatrix} \begin{bmatrix} E_{0x} \\ E_{0y} \\ E_{0z} \end{bmatrix} = 0$$





# 第4讲 电磁波与媒质和物体的作用

要使得方程有非零解，则系数行列式必须为零：

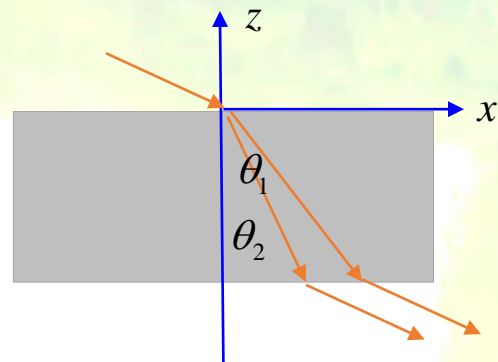
$$\begin{vmatrix} \omega^2 \mu_0 \varepsilon_{\perp} - k^2 \cos^2 \theta & 0 & -\frac{1}{2} k^2 \sin 2\theta \\ 0 & \omega^2 \mu_0 \varepsilon_{\perp} - k^2 & 0 \\ -\frac{1}{2} k^2 \sin 2\theta & 0 & \omega^2 \mu_0 \varepsilon_{\parallel} - k^2 \sin^2 \theta \end{vmatrix} = 0 \rightarrow \begin{cases} k^2 = k_1^2 = \omega^2 \mu_0 \varepsilon_{\perp} \\ k^2 = k_2^2 = \omega^2 \mu_0 \left( \frac{\cos^2 \theta}{\varepsilon_{\perp}} + \frac{\sin^2 \theta}{\varepsilon_{\parallel}} \right)^{-1} \end{cases}$$

若  $k = k_1$  可得  $E_{0x} = E_{0z} = 0$ ，因此  $\mathbf{E} = \hat{y} E_{0y} e^{-jk_1(x \sin \theta - z \cos \theta)}$

若  $k = k_2$  可得  $E_{0y} = 0$ ,  $\frac{E_{0z}}{E_{0x}} = \frac{\varepsilon_{\perp}}{\varepsilon_{\parallel}} \tan \theta$ ，因此  $\mathbf{E} = \left( \hat{x} + \hat{z} \frac{\varepsilon_{\perp}}{\varepsilon_{\parallel}} \tan \theta \right) E_{0x} e^{-jk_2(\theta)(x \sin \theta - z \cos \theta)}$

波在晶体中可以以两种模式传播，取决与来波的极化方式：

- 如果来波电场只有 y 分量，将以第一种模式传播；
- 如果来波电场没有 y 分量，将以第二种模式传播；
- 如果电场三个分量均存在，则分解成以上两种模式分别传播。
- 因为两种模式的相速度/折射率不同，所以可发生双折射现象。



两种模式的折射率：

$$n_1 = \frac{k_1}{k_0} = \sqrt{\frac{\varepsilon_{\perp}}{\varepsilon_0}} \quad n_2(\theta) = \frac{k_2}{k_0} = \left( \frac{\varepsilon_0}{\varepsilon_{\perp}} \cos^2 \theta + \frac{\varepsilon_0}{\varepsilon_{\parallel}} \sin^2 \theta \right)^{-1/2}$$



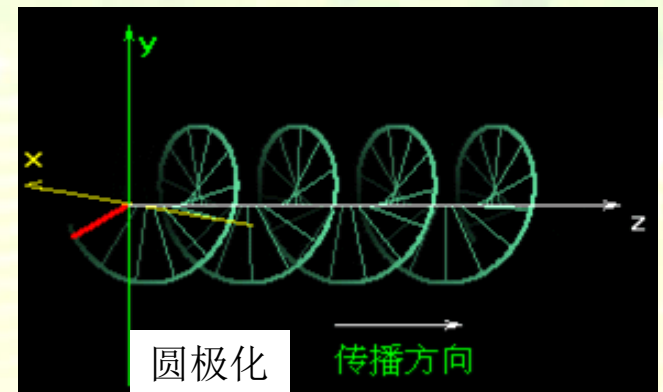
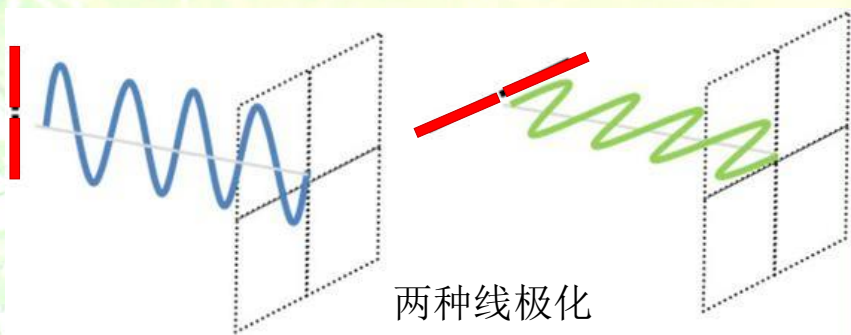


## 第4讲 电磁波与媒质和物体的作用

从以上晶体中的平面波传播例子可以看出，当媒质为各向异性时，波可能以多种模式传播，每种模式的波数（传播常数/波速/折射率）不同，**极化方式**也有特定形式。

**电磁波的极化**：电场矢量末端随时间的变化特性。右手拇指指向传播方向，如果电场矢量旋转方向与四指弯曲方向一致，称为右手极化；相反则为左手极化；若电场矢量方向不旋转则为线极化。

- ◆ **线极化**：电场矢量方向不变，但是大小可变化；
- ◆ **圆极化**：电场矢量大小不变，但是方向随时间旋转；
- ◆ **椭圆极化**：电场矢量大小和方向都随时间变化。

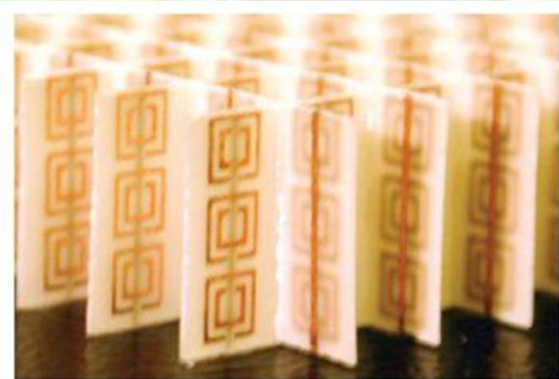




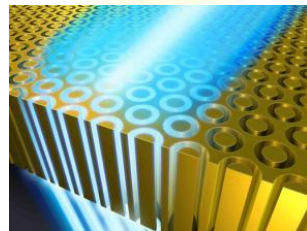
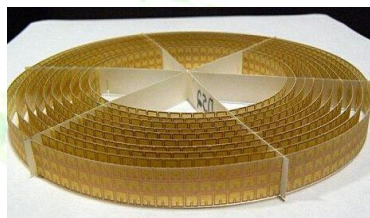
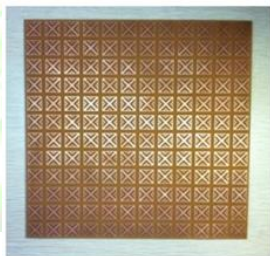
# 第4讲 电磁波与媒质和物体的作用

## 其他典型的电磁媒质：

- ◆ **磁化等离子体**：处于电离状态的物质，并且被外加磁场磁化；是一种各向异性、旋性、非互易的电磁媒质。波在其中以多种模式传播（各向异性所致），一般以圆极化或椭圆极化波传播（旋性），波沿相反方向传播过程不可逆（非互易）。
- ◆ **磁化铁氧体**：含铁磁质的材料。波在其中传播的特性与等离子体媒质相同。
- ◆ **手征媒质**：由手性分子组成的材料。波在其中主要以圆极化方式传播，但是具有互易性。。
- ◆ **左手媒质（负折射率媒质）**：一种由人工设计的电磁媒质，介电常数和磁导率均为负数，折射率为负值。波在其中传播以及在界面上反射与投射与通常的媒质不同。**电磁超材料（包含负折射率）**是当前的研究热点之一。



负折射率人工设计材料







# 第4讲 电磁波与媒质和物体的作用

## 3. 电磁波通过导波结构传输

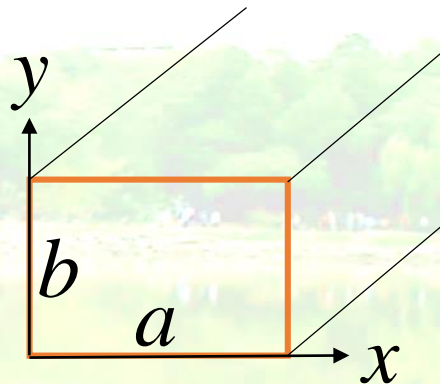
**导波：**电磁波被结构牵引或限制沿特定方向传输。输送电系统、有线电视、电路/微波电路芯片、电子器件 ..... 中的电磁信号/能量都要求沿设定的方向传输。

**一般的导波结构：**双线传输线、同轴线、微带传输线、金属/介质波导、光纤。

### ◆ 电磁波在金属波导内的传输

**金属波导：**一般的金属波导是矩形或圆形。

考虑如图矩形波导，假设电场没有  $z$  分量，而磁场  $z$  分量需要满足的波方程和边界条件为：



$$\left( \frac{\partial^2}{\partial x^2} + \frac{\partial^2}{\partial y^2} + \frac{\partial^2}{\partial z^2} + k^2 \right) H_z(x, y, z) = 0 \quad \left. \frac{\partial H_z}{\partial x} \right|_{x=0,a} = \left. \frac{\partial H_z}{\partial y} \right|_{y=0,b} = 0$$

它的解是：

$$H_z(x, y, z) = A_{m,n} \sin\left(\frac{m\pi}{a}x\right) \sin\left(\frac{n\pi}{b}y\right) e^{-j\beta_{m,n}z} \quad \begin{cases} m, n = 1, 2, 3, \dots \\ \beta_{m,n} = \sqrt{k^2 - \left(\frac{m\pi}{a}\right)^2 - \left(\frac{n\pi}{b}\right)^2} \end{cases}$$

这样的解称为一个“**导波模式**”，总场是所有模式的叠加。



## 第4讲 电磁波与媒质和物体的作用

这种“导波模式”的传输特性为：

相速：  $v_{p,m,n} = \frac{\omega}{\beta_{m,n}} = \frac{\omega}{k} \frac{1}{\sqrt{1 - \left(\frac{m\pi}{ka}\right)^2 - \left(\frac{n\pi}{kb}\right)^2}}$

群速：  $v_{g,m,n} = \frac{d\omega}{d\beta_{m,n}} = \frac{\omega}{k} \sqrt{1 - \left(\frac{m\pi}{ka}\right)^2 - \left(\frac{n\pi}{kb}\right)^2}$

截止条件：  $\beta_{m,n}$  必须为实数，不然波以指数衰减，不能实现有效传输，即

$$\beta_{m,n} > 0 \quad \text{或} \quad k^2 - \left(\frac{m\pi}{a}\right)^2 - \left(\frac{n\pi}{b}\right)^2 > 0 \quad \left(\frac{2\pi f}{c}\right)^2 > \left(\frac{m\pi}{a}\right)^2 + \left(\frac{n\pi}{b}\right)^2 = \left(\frac{2\pi f_{c,m,n}}{c}\right)^2$$

$$f > f_{c,m,n} = \frac{c}{2} \sqrt{\left(\frac{m}{a}\right)^2 + \left(\frac{n}{b}\right)^2} \quad \text{所以，只有频率大于 } f_{c,m,n} \text{ 的电磁波才能以该种模式传输，或者说能以该模式传输的电磁波最低频率是 } f_{c,m,n}。$$

**总结：**在导波结构中，电磁波以各种离散的“导波模式”进行传播，每种模式的传输速度不同，能够传输的电磁波最低频率也不同。对实际应用来说，需要选取特定的模式作为“工作模式”。

例子：矩形波导的最低模式是  $TE_{10}$  模 ( $m=1, n=0$ )，假设波导尺寸是  $a=4\text{cm}, b=2\text{cm}$ ，那么能传输的电磁波最低频率是多少？ [答]

$$f > f_{c,1,0} = \frac{c}{2a} = \frac{3 \times 10^8}{2 \times 0.04} = 3.75 \times 10^9 \text{ Hz}$$



# 第4讲 电磁波与媒质和物体的作用

## 4. 电磁波散射

- ◆ **散射**：电磁波在传播/传输过程中如果遇到阻碍，会发生反射、折射、绕射、衍射、透射等行为，把它们统称为“散射”。
- ◆ **入射场**：把阻碍物或研究对象不存在时的空间电磁场分布称为“入射场”。
- ◆ **散射场**：把阻碍物存在时空间场分布发生的变化量称为“散射场”。

电磁散射研究是电波传播（如信道建模）、电磁探测和成像（如微波遥感、雷达目标探测）、微波与射频器件分析（如介质加载和多端口连接）等的重要基础。

### ◆ 平面波从分层介质中的反射与透射

平面分层介质在地层探测（地质/资源）、多层微波电路分析设计、电离层探测等领域具有广泛应用背景。





# 第4讲 电磁波与媒质和物体的作用

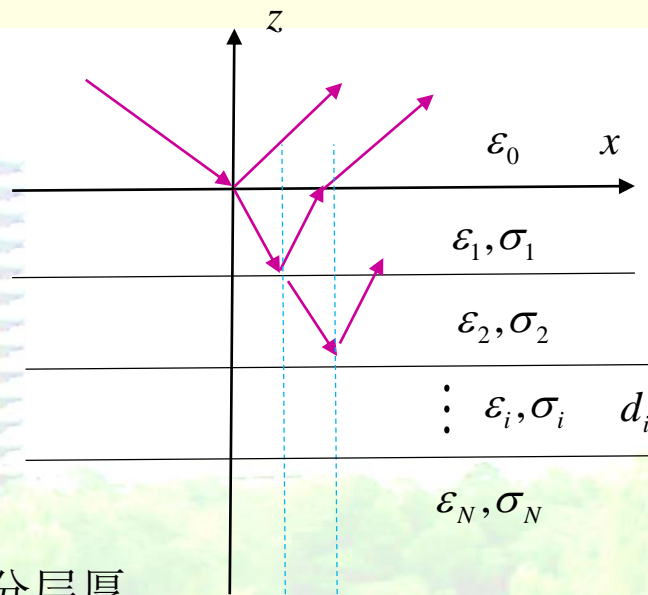
考虑如图多层介质的反射与透射问题。

设入射波为水平极化波：

$$E_y^i = E_0 e^{jk_{0z}z} e^{-jk_0 x \sin \theta_0}, \quad k_{0z} = \sqrt{k_0^2 - (k_0 \sin \theta_0)^2}$$

从地面上的反射波：

$$E_y^r = \Gamma_0 E_0 e^{-jk_{0z}z} e^{-jk_0 x \sin \theta_0}$$



**目的：**通过在多个频率下测量地面反射系数  $\Gamma_0(f)$  推测分层厚度和电参数（进一步推测物质成分）。为此，我们可推导出：

$$\Gamma_0 = \frac{\tilde{Z}_1^{TE} - Z_0^{TE}}{\tilde{Z}_1^{TE} + Z_0^{TE}}$$

with

$$\tilde{Z}_i^{TE} = Z_i^{TE} \frac{\tilde{Z}_{i+1}^{TE} + Z_i^{TE} \tan(k_{iz} d_i)}{Z_i^{TE} + \tilde{Z}_{i+1}^{TE} \tan(k_{iz} d_i)}, \quad i = N-1, N-2, \dots, 1$$

$$\begin{cases} k_i^2 = \omega^2 \mu_0 \epsilon_i - j\omega \mu_0 \sigma_i \\ k_{iz} = \sqrt{k_i^2 - (k_0 \sin \theta_0)^2} \\ Z_i^{TE} = \frac{\omega \mu_0}{k_{iz}}, \quad \tilde{Z}_N^{TE} = Z_N^{TE} \end{cases}$$

我们看到，所有的地层信息（分层厚度和电参数）都已加载到反射系数  $\Gamma_0$ ，通过某种优化算法可以解出这些参数（可能不唯一），实现地层探测/反演。



# 第4讲 电磁波与媒质和物体的作用

## ◆ 金属球的散射

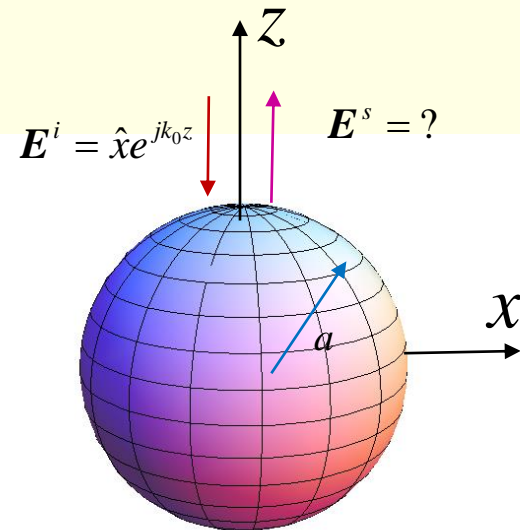
金属球是最简单的三维物体，它的解析解具有极为重要的意义：因为我们不能得到一般的三维物体的理论解，势必要用数值求解或直接测量，它们是否准确就需要验证，金属球的解析解就扮演这样的“定标”角色：

$$\text{RCS}_{\text{目标, 理论}} = \text{RCS}_{\text{目标, 测量}} + (\text{RCS}_{\text{球, 理论}} - \text{RCS}_{\text{球, 测量}})$$

设入射波为  $\mathbf{E}^i = \hat{x}E_0 e^{jk_0 z}$ ，散射波为 (意外地复杂啊！)：

$$\mathbf{E}^s = E_0 \sum_{n=1}^{\infty} (-j)^n \frac{2n+1}{n(n+1)} \left( A_n \mathbf{M}_n + j B_n \mathbf{N}_n \right) \quad \left\{ \begin{array}{l} A_n = -\frac{j_n(k_0 a)}{h_n^{(2)}(k_0 a)} \\ B_n = -\frac{\frac{d}{d(k_0 a)}[(k_0 a) j_n(k_0 a)]}{\frac{d}{d(k_0 a)}[(k_0 a) h_n^{(2)}(k_0 a)]} \end{array} \right.$$

$$\left\{ \begin{array}{l} \mathbf{M}_n = \hat{\theta} \frac{m}{\sin \theta} h_n^{(2)}(k_0 r) P_n^1(\cos \theta) \cos \phi - \hat{\phi} h_n^{(2)}(k_0 r) \frac{\partial P_n^1(\cos \theta)}{\partial \theta} \sin \phi \\ \mathbf{N}_{emn} = \hat{r} \frac{n(n+1)}{k_0 r} h_n^{(2)}(k_0 r) P_n^m(\cos \theta) \cos \phi - \hat{\theta} \frac{1}{k_0 r} \frac{\partial}{\partial r} [r h_n^{(2)}(k_0 r)] \frac{\partial P_n^1(\cos \theta)}{\partial \theta} \cos \phi - \hat{\phi} \frac{1}{k_0 r \sin \theta} \frac{\partial}{\partial r} [r h_n^{(2)}(k_0 r)] P_n^1(\cos \theta) \sin m\phi \end{array} \right.$$



$j_n(k_0 r), h_n^{(2)}(k_0 r)$  = 球贝塞尔、球汉克尔函数

**总结：**一般结构物体的电磁场边值问题没有解析解，必须开发 数值求解方法。



# 第4讲 电磁波与媒质和物体的作用

## 5. 计算电磁学

### ◆ 什么是计算电磁学？

“实验” 电磁学  
(1864年之前)



“数理” 电磁学  
(1960年代之前)



“计算” 电磁学  
(1960年代之后)

实验为主要手段 →  
→ 发现电磁学 “定律”

数理推演 为主要方式 →  
→ 获得电磁场 “原理、方法”

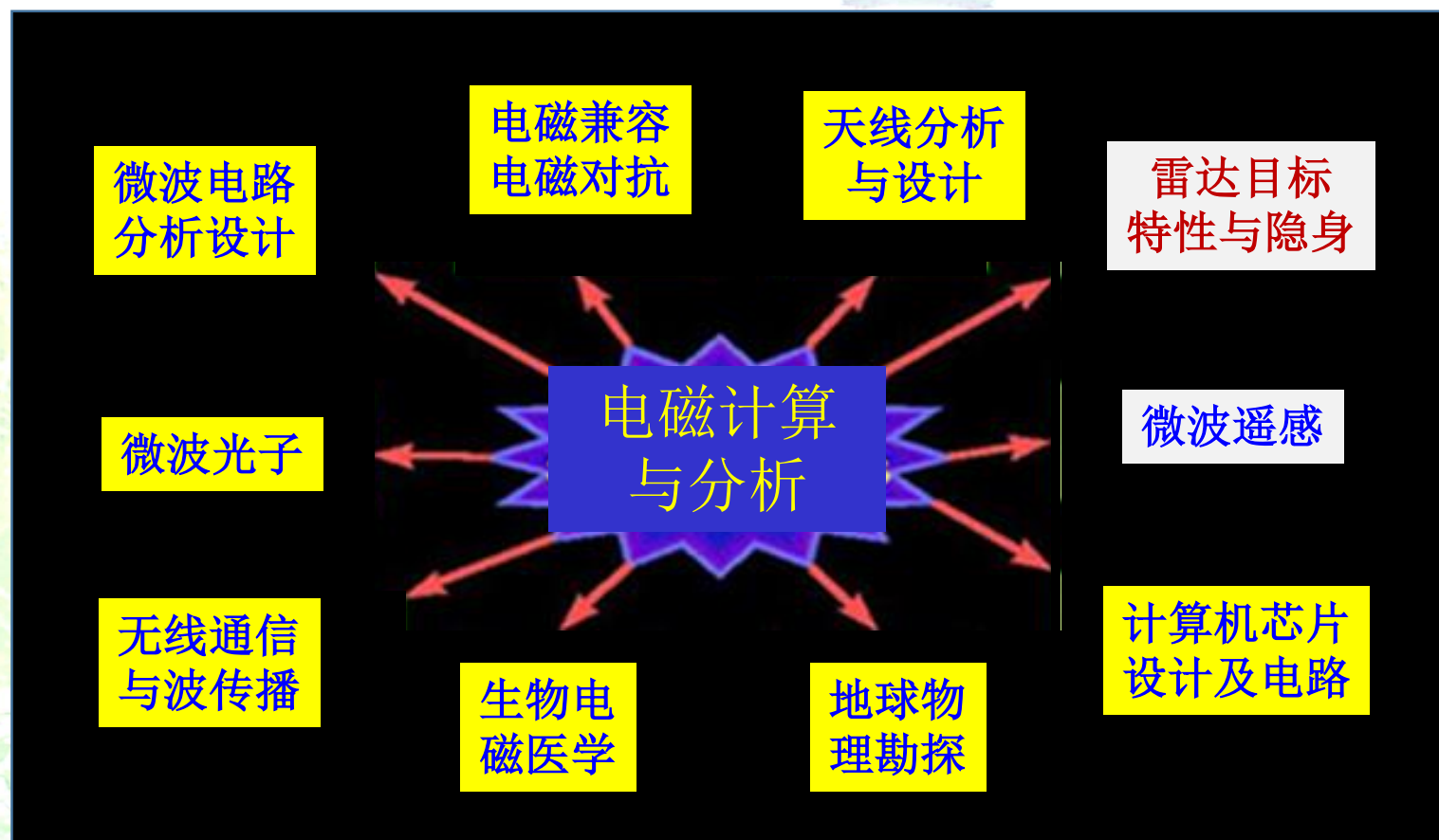
计算机 为主要工具 →  
→ 解决实际 “工程应用问题”





## 第4讲 电磁波与媒质和物体的作用

### ◆ 计算电磁学有什么用？



计算电磁学在一切宏观电磁工程应用中处于中心地位



## 第4讲 电磁波与媒质和物体的作用

**雷达截面(RCS):** 衡量一个目标对雷达波散射能力的物理量, 与入射波频率、入射和散射方向、极化方式有关。

$$\sigma_{pq}(f, \hat{k}^i, \hat{k}^s) = \lim_{R \rightarrow \infty} \left[ (4\pi R^2) \frac{|E_p^s|^2}{|E_q^i|^2} \right]$$

散射波电场  
入射波电场

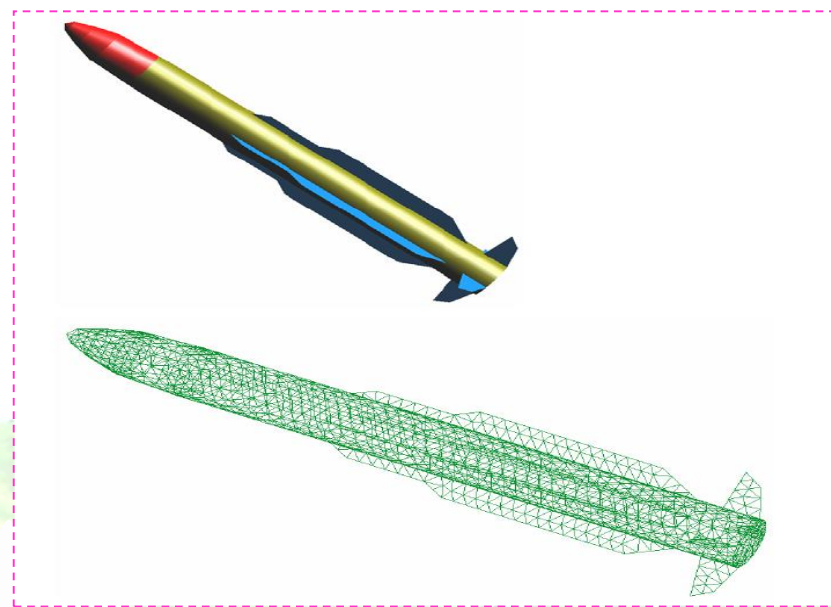
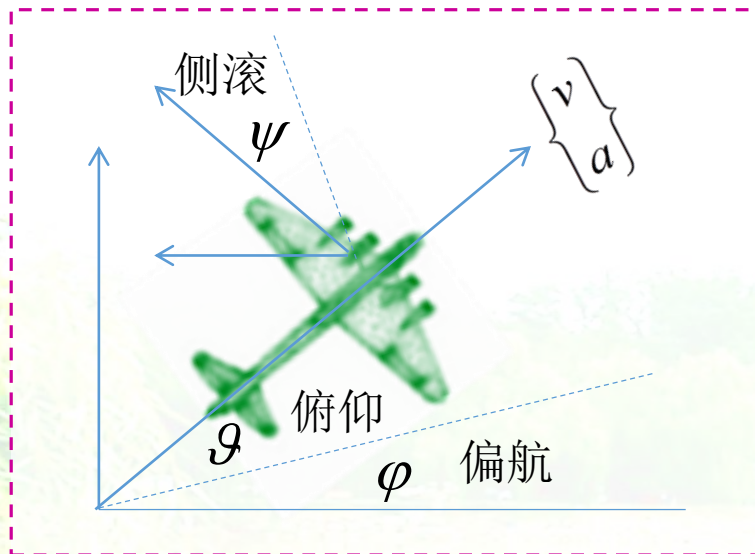
典型目标的后向雷达散射截面为:

大型喷气客机	$\sim 100 \text{ m}^2$
大型战机	$\sim 10 \text{ m}^2$
成人	$\sim 1 \text{ m}^2$
传统导弹	$\sim 0.5 \text{ m}^2$
鸟	$\sim 0.01 \text{ m}^2$
昆虫	$\sim 0.00001 \text{ m}^2$

隐身战机: F117=0.065 m<sup>2</sup>, F22=0.0065 m<sup>2</sup>, B-2=0.0014 m<sup>2</sup>

# 第4讲 电磁波与媒质和物体的作用

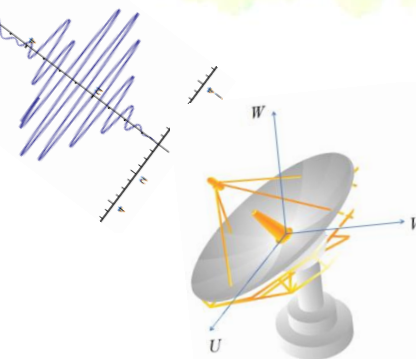
## ◆ 雷达目标电磁响应特性分析



通过计算获得目标雷达回波, 用于:

- 1) 优化目标设计实现隐身效果
- 2) 使用回波数据进行目标成像
- 3) 提取特征参数用于目标鉴别
- 4) 提取运动信息用于目标区分

目标的雷达回波

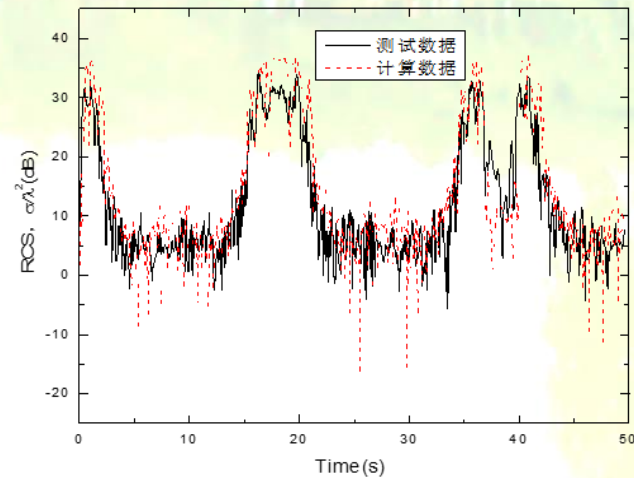
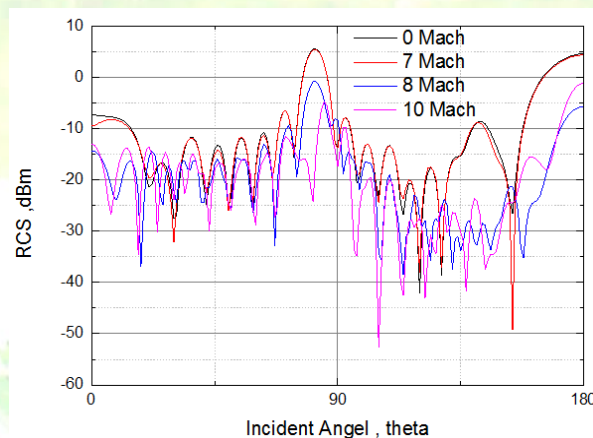
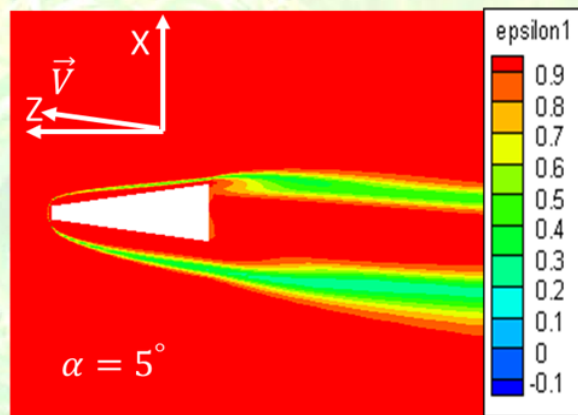
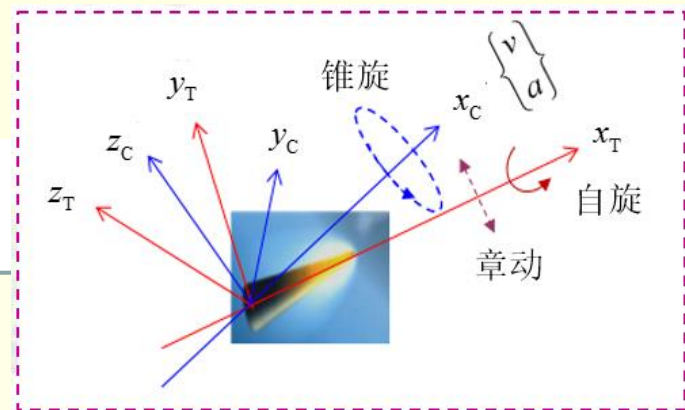
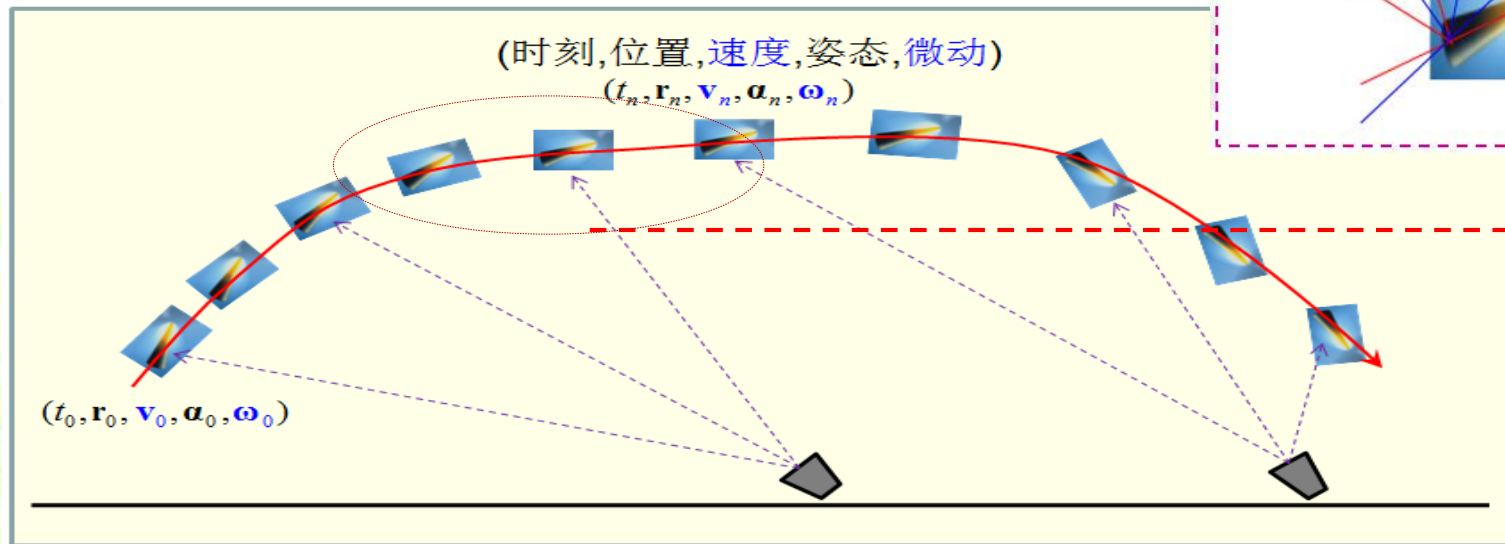






# 第4讲 电磁波与媒质和物体的作用

## ◆ 超声速目标的雷达散射特性分析



等离子体鞘套/黑障 对探测、通信和控制的影响分析



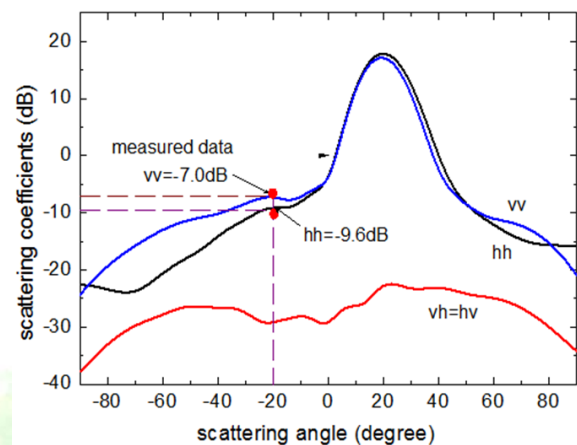
# 第4讲 电磁波与媒质和物体的作用

## ◆ 计算电磁学与微波散射遥感

通过计算获得遥感区域的散射波，经处理获得：

- ◆ 海洋风速、风向、盐度、油污 等信息
- ◆ 海面目标、船只 / 潜艇 尾迹信息获取
- ◆ 土壤湿度、植被类型、冰雪厚度及年份等
- ◆ 模拟SAR图像，系统设计 / 定标 / 校准等

土壤湿度遥感仿真

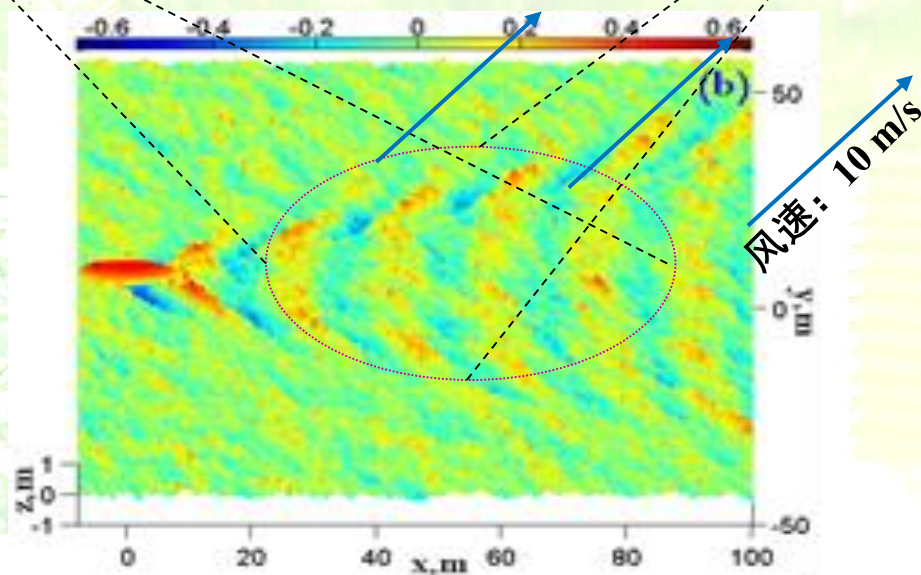


$$\vec{E}^i(\theta_i, \phi_i)$$

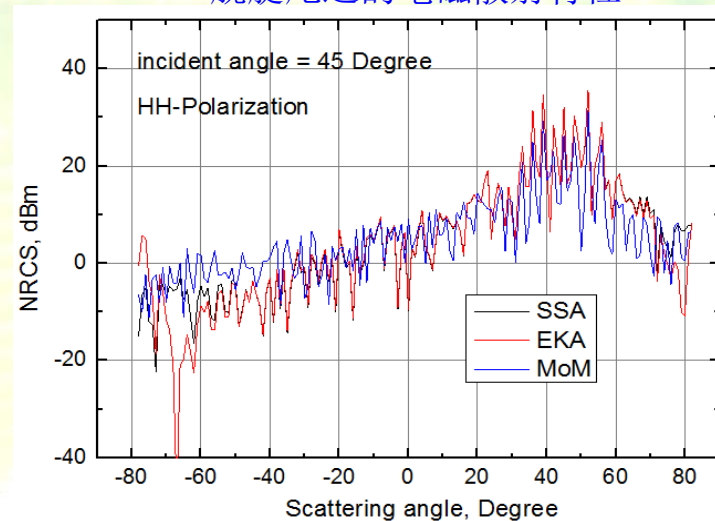
入射波

散射波

$$\vec{E}^s(\theta_s, \phi_s)$$



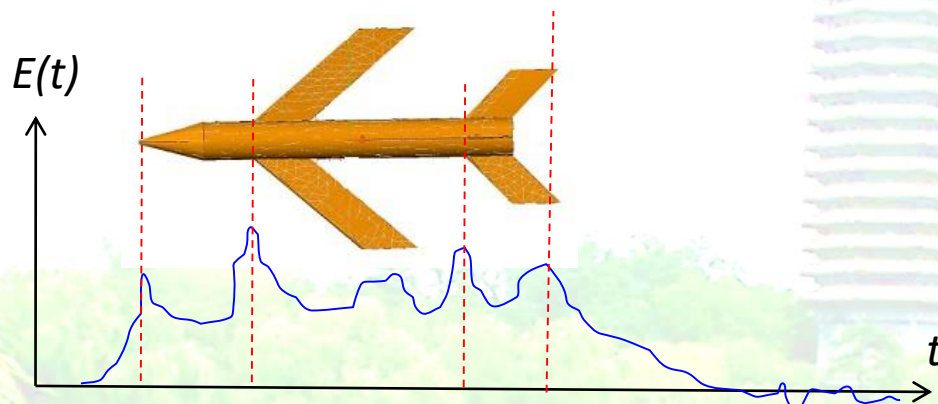
舰艇尾迹的电磁散射特性





# 第4讲 电磁波与媒质和物体的作用

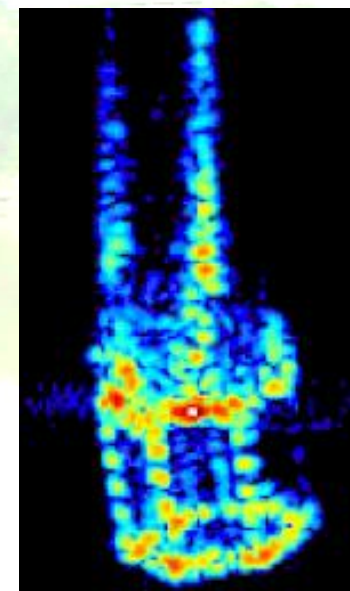
## ◆ 雷达目标成像仿真模拟



飞机目标一维距离像



F35 的模拟合成孔径雷达 二维像



卫星目标三维像